

Starkniederschlagshöhen und -spenden gemäß KOSTRA-DWD-2010R

Auswertungszeitraum von 1951 - 2010, Januar - Dezember

Rasterfeld: 56055

Zeile: 56

Spalte: 55

Seite: 1/2

| Dauerstufe D | Wiederkehrzeit T | | | | | | | | | | | | | | | | | | |
|--------------|------------------|------|------------|------|------------|------|------------|------|------------|------|------------|------|------------|-------|------------|-------|------------|-------|------------|
| | 1 a | | 2 a | | 3 a | | 5 a | | 10 a | | 20 a | | 30 a | | 50 a | | 100 a | | |
| min | Std | mm | l / (s ha) | mm | l / (s ha) | mm | l / (s ha) | mm | l / (s ha) | mm | l / (s ha) | mm | l / (s ha) | mm | l / (s ha) | mm | l / (s ha) | mm | l / (s ha) |
| 5 | | 5,6 | 186,7 | 7,3 | 243,3 | 8,3 | 276,7 | 9,6 | 320,0 | 11,3 | 376,7 | 12,9 | 430,0 | 13,9 | 463,3 | 15,2 | 506,7 | 16,9 | 563,3 |
| 10 | | 9,0 | 150,0 | 11,4 | 190,0 | 12,7 | 211,7 | 14,4 | 240,0 | 16,8 | 280,0 | 19,1 | 318,3 | 20,4 | 340,0 | 22,1 | 368,3 | 24,5 | 408,3 |
| 15 | | 11,3 | 125,6 | 14,1 | 156,7 | 15,7 | 174,4 | 17,8 | 197,8 | 20,6 | 228,9 | 23,4 | 260,0 | 25,0 | 277,8 | 27,1 | 301,1 | 29,9 | 332,2 |
| 20 | | 12,9 | 107,5 | 16,1 | 134,2 | 18,0 | 150,0 | 20,3 | 169,2 | 23,5 | 195,8 | 26,7 | 222,5 | 28,6 | 238,3 | 31,0 | 258,3 | 34,2 | 285,0 |
| 30 | | 15,1 | 83,9 | 18,9 | 105,0 | 21,2 | 117,8 | 24,0 | 133,3 | 27,9 | 155,0 | 31,7 | 176,1 | 34,0 | 188,9 | 36,8 | 204,4 | 40,7 | 226,1 |
| 45 | | 17,0 | 63,0 | 21,6 | 80,0 | 24,3 | 90,0 | 27,7 | 102,6 | 32,4 | 120,0 | 37,0 | 137,0 | 39,7 | 147,0 | 43,2 | 160,0 | 47,8 | 177,0 |
| 60 | | 18,1 | 50,3 | 23,4 | 65,0 | 26,5 | 73,6 | 30,4 | 84,4 | 35,7 | 99,2 | 41,0 | 113,9 | 44,1 | 122,5 | 48,0 | 133,3 | 53,3 | 148,1 |
| 90 | | 19,7 | 36,5 | 25,3 | 46,9 | 28,5 | 52,8 | 32,5 | 60,2 | 38,1 | 70,6 | 43,6 | 80,7 | 46,8 | 86,7 | 50,9 | 94,3 | 56,4 | 104,4 |
| 120 | 2 | 21,0 | 29,2 | 26,7 | 37,1 | 30,0 | 41,7 | 34,2 | 47,5 | 39,8 | 55,3 | 45,5 | 63,2 | 48,8 | 67,8 | 53,0 | 73,6 | 58,7 | 81,5 |
| 180 | 3 | 22,9 | 21,2 | 28,8 | 26,7 | 32,3 | 29,9 | 36,6 | 33,9 | 42,5 | 39,4 | 48,4 | 44,8 | 51,9 | 48,1 | 56,2 | 52,0 | 62,1 | 57,5 |
| 240 | 4 | 24,4 | 16,9 | 30,4 | 21,1 | 34,0 | 23,6 | 38,5 | 26,7 | 44,5 | 30,9 | 50,6 | 35,1 | 54,1 | 37,6 | 58,6 | 40,7 | 64,7 | 44,9 |
| 360 | 6 | 26,6 | 12,3 | 32,9 | 15,2 | 36,6 | 16,9 | 41,2 | 19,1 | 47,6 | 22,0 | 53,9 | 25,0 | 57,6 | 26,7 | 62,2 | 28,8 | 68,5 | 31,7 |
| 540 | 9 | 29,0 | 9,0 | 35,6 | 11,0 | 39,4 | 12,2 | 44,2 | 13,6 | 50,8 | 15,7 | 57,4 | 17,7 | 61,2 | 18,9 | 66,1 | 20,4 | 72,6 | 22,4 |
| 720 | 12 | 30,9 | 7,2 | 37,6 | 8,7 | 41,6 | 9,6 | 46,5 | 10,8 | 53,3 | 12,3 | 60,0 | 13,9 | 64,0 | 14,8 | 69,0 | 16,0 | 75,7 | 17,5 |
| 1080 | 18 | 33,7 | 5,2 | 40,7 | 6,3 | 44,8 | 6,9 | 50,0 | 7,7 | 57,0 | 8,8 | 64,0 | 9,9 | 68,1 | 10,5 | 73,3 | 11,3 | 80,3 | 12,4 |
| 1440 | 24 | 35,8 | 4,1 | 43,0 | 5,0 | 47,3 | 5,5 | 52,6 | 6,1 | 59,8 | 6,9 | 67,0 | 7,8 | 71,3 | 8,3 | 76,6 | 8,9 | 83,8 | 9,7 |
| 2880 | 48 | 39,5 | 2,3 | 50,2 | 2,9 | 56,4 | 3,3 | 64,2 | 3,7 | 74,8 | 4,3 | 85,4 | 4,9 | 91,6 | 5,3 | 99,4 | 5,8 | 110,1 | 6,4 |
| 4320 | 72 | 41,9 | 1,6 | 54,5 | 2,1 | 61,9 | 2,4 | 71,2 | 2,7 | 83,8 | 3,2 | 96,3 | 3,7 | 103,7 | 4,0 | 113,0 | 4,4 | 125,6 | 4,8 |

Angaben in mm: Bemessungsniederschlagswerte h(n)

Angaben in l / (s ha): Regenspende R(n) mit $R(n) = h(n) \times 1,666667 / D[\text{min}]$

Toleranzbereiche:

+/- 10 % für $1 \text{ a} \leq T \leq 5 \text{ a}$

+/- 15 % für $5 \text{ a} < T \leq 50 \text{ a}$

+/- 20 % für $50 \text{ a} < T \leq 100 \text{ a}$

Datenbasis: KOSTRA-DWD-2010R des Deutschen Wetterdienstes. Die Regenspende wurde auf Basis des Bemessungsniederschlags zur jeweiligen Andauer berechnet.

Für die Richtigkeit und Aktualität der Angaben wird keine Gewähr übernommen. Erstellt 07/2022.

Starkniederschlagshöhen und -spenden gemäß KOSTRA-DWD-2010R

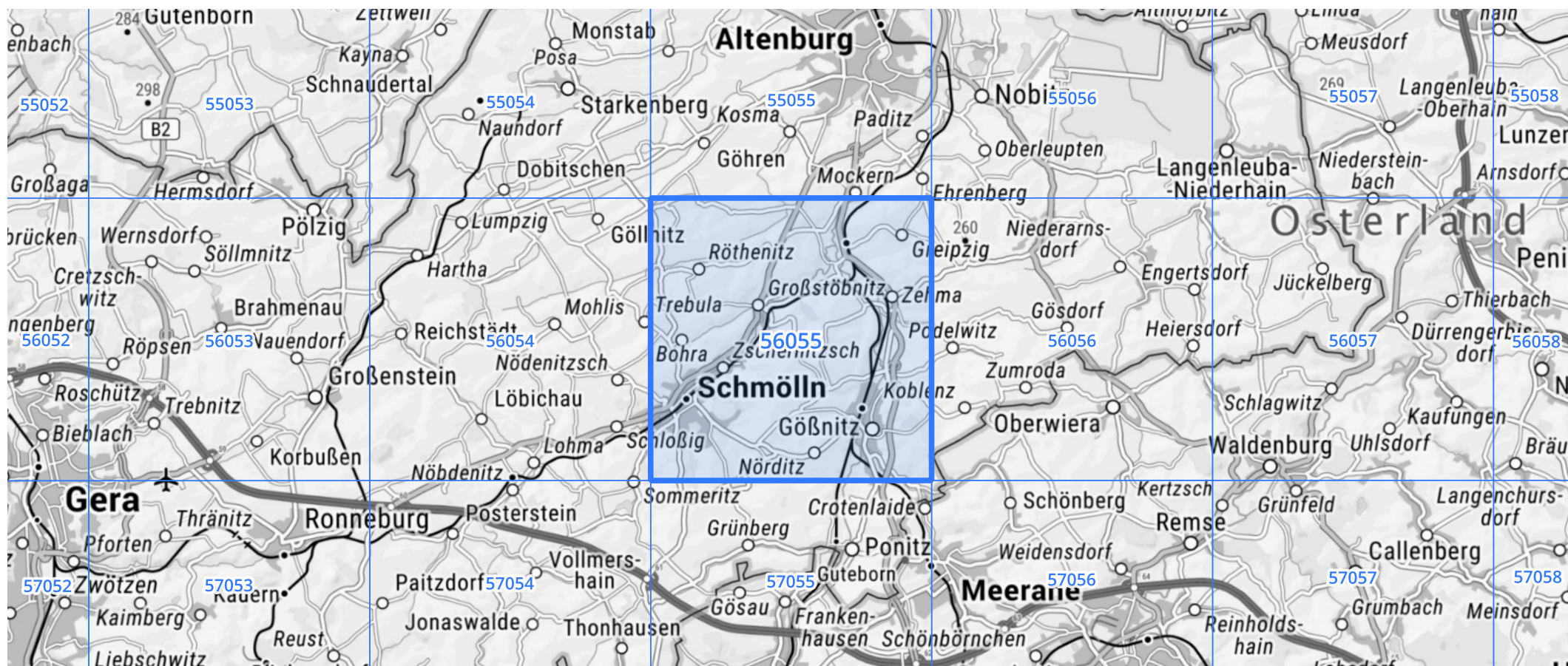
Auswertungszeitraum von 1951 - 2010, Januar - Dezember

Rasterfeld: 56055

Zeile: 56

Spalte: 55

Seite: 2/2



Quelle Rasterdaten: KOSTRA-DWD-2010R des Deutschen Wetterdienstes.

Kartendarstellung: © Bundesamt für Kartographie und Geodäsie (2022), Datenquellen: https://sgx.geodatenzentrum.de/web_public/gdz/datenquellen/Datenquellen_TopPlusOpen.html

Für die Richtigkeit und Aktualität der Angaben wird keine Gewähr übernommen. Erstellt 07/2022.